

# اثر فعالیت گیرنده‌های آدنوزینی A<sub>1</sub> در ناحیه هیپوکمپ بر تشنج‌های ناشی از تحریک الکتریکی آمیگدال

مسعود علاسوند، سید جواد میرنجفی زاده، یعقوب فتح الهی، سید مصطفی مرتضوی، محمد رضا پالیزان

دانشگاه تربیت مدرس، دانشکده پزشکی، گروه فیزیولوژی

## چکیده

در این تحقیق نقش گیرنده‌های A<sub>1</sub> آدنوزین در ناحیه CA1 هیپوکمپ بر تشنج‌هایی که از طریق کیندلینگ آمیگدال ایجاد شده بود، مورد ارزیابی قرار گرفت. در تمامی حیوانات یک الکترود سه قطبی در آمیگدال و دو کانول راهنمای در ناحیه CA1 هیپوکمپ کار گذاشته شد و با تحریک روزانه آمیگدال حیوانات کیندل شدند. نتایج حاصل از آزمایش‌ها نشان داد که در حیوانات کیندل شده تزریق دو طرفه N<sup>6</sup>-سیکلوهگریل آدنوزین (CHA) با غلظت‌های ۱، ۰/۱ و ۱۰ میکرومولار به ناحیه CA1 هیپوکمپ در زمان‌های ۵، ۱۵ و ۶۰ دقیقه پس از تحریک باعث کاهش معنی‌دار مدت زمان امواج تخلیه متعاقب (ADD) و مدت زمان مرحله ۵ تشنج گردید. همچنین زمان تأخیری بین تحریک تا شروع مرحله ۴ تشنج را افزایش داد اما در مرحله حمله هیچ تغییری به وجود نیاورد.

همچنین تزریق دو طرفه ۱، ۳-۳ دی متیل-۸-سیکلوپتیل گزانتین (CPT) با غلظت‌های ۰/۵ و ۱ میکرومولار به ناحیه CA1 هیپوکمپ هیچ تغییر معنی‌داری در کمیت‌های تشنج ایجاد نکرد. هنگامی که ۵ دقیقه بعد از تزریق دو طرفه CHA با غلظت‌های ۰/۱ و ۱ میکرومولار به داخل هیپوکمپ، CPT با غلظت ۱ میکرومولار به این ناحیه تزریق شد، به طور معنی‌داری اثرات CHA بر کمیت‌های تشنجی حذف گردید. بنابراین با توجه به نتایج فوق می‌توان این احتمال را مطرح نمود که ناحیه CA1 هیپوکمپ در گسترش امواج تشنجی از آمیگدال به سایر نواحی نقش داشته و فعالیت گیرنده‌های A<sub>1</sub> آدنوزین این ناحیه، در بروز اثرات ضد تشنجی آگونیست‌های آدنوزین دخیل می‌باشد.

**واژه‌های کلیدی :** صرع، آدنوزین، آمیگدال، هیپوکمپ، کیندلینگ.

## مقدمه

آن در حیوانات آزمایشگاهی استفاده می‌شود. یکی از این مدل‌ها کیندلینگ می‌باشد. در این مدل اعمال مکرر تحریکاتی که در ابتدا قادر به ایجاد تشنج نمی‌باشند، به تدریج منجر به بروز رفتارهای تشنجی در حیوان می‌گردد

با توجه به اینکه مکانیسم‌های ایجاد صرع هنوز به درستی شناخته نشده‌اند و راه درمانی مناسبی برای این اختلال عصبی یافت نشده است [۳۸] برای شناخت بیشتر این اختلال عصبی، از مدل‌های آزمایشگاهی مختلفی برای ایجاد

پنتوباریتال (i.p. ۵۰ mg/kg) بیهوده شده و در دستگاه استریووتاکس قرار داده شدند. پوست سر از قسمت میانی برش داده شد. یک الکترود سه قطبی در هسته قaudate - جانی آمیگدال که مختصات آن بر اساس اطلس Paxinos [۲۳]، ۲/۵ میلیمتر به عقب، ۴/۸ میلیمتر به راست نسبت به برگما و ۷/۵ میلیمتر از سطح سخت شامه است، قرار داد شد. دو الکترود دیگر که به عنوان زمین و دیفرنشیال به کار می‌روند، به وسیله پیچ به سطح جمجمه متصل گردیدند. دو کانول راهنمایی در هیپوکمپ با مختصات ۳/۶ میلیمتر به عقب، ۲/۳ میلیمتر به راست و چپ نسبت به برگما و ۲/۲ میلیمتر پایین تراز سخت شامه کار گذاشته شد. سپس پین‌های متصل به الکترودها را وارد سوکت کرده و سوکت به وسیله سیمان دندانپزشکی بر روی سطح جمجمه متصل گردید. بعد از جراحی، حیوانات به مدت یک هفته استراحت کرده و سپس مورد آزمایش قرار گرفتند. در این تحقیق ابتدا باید موش‌ها کیندل شوند. برای این کار ابتدا آمیگدال با شدت ۱۰ میکرو آمپر تحریک می‌شد. اگر این شدت جریان قادر به ایجاد امواج تخلیه متعاقب به مدت ۵ ثانیه بود، به عنوان شدت آستانه در نظر گرفته می‌شد. در غیر این صورت، به تدریج شدت جریان هر بار به اندازه ۱۰ میکرو آمپر افزایش داده می‌شد تا آستانه تحریک مشخص گردد. آنگاه هر ۲۴ ساعت یک بار حیوانات با شدت آستانه تحریک می‌شدند تا کیندل شوند. بعد از این مرحله آزمایش‌های مربوط به تزریق دارو انجام می‌گرفت. شاخص‌هایی که پس از هر بار تحریک حیوان اندازه گیری می‌شدند، عبارتند از: مدت زمان تأخیری بین تحریک و شروع مرحله ۴ تشنج (Stage 4 Latency; S4L)، مدت زمان امواج تخلیه متعاقب (Afterdischarge Duration; ADD)، مدت زمان مرحله ۵ تشنج (Stage 5 Duration; SS) و مرحله حمله تشنجی (Seizure Stage; SSD) مراحل حمله تشنجی در مدل کیندلینگ عبارتند از: مرحله

[۹]. تاکنون با استفاده از این مدل نقش بسیاری از عوامل تشنج‌زا مورد بررسی قرار گرفته است. یکی از این مواد، آدنوزین است. آدنوزین به عنوان یک تعدیل کننده عصبی با اثرات ضد تشنجی درونزاد، شناخته شده است [۴۵، ۸، ۷]. در مطالعات قبلی نشان داده شده است که تزریق آگونیست‌های آدنوزین به صورت داخل صفاقی [۲۵، ۱۹، ۱۰، ۹] و داخل بطنی [۱۲] موجب مهار حملات ناشی از کیندلینگ آمیگدال می‌گردد اما مشخص نیست که این اثر در نتیجه مهار عمومی تحریک پذیری مغز می‌باشد یا مربوط به قسمتی از مغز است که در تولید امواج تخلیه متعاقب نقش دارد و یا در نتیجه جلوگیری از توسعه و انتشار صورت می‌گیرد. بنابراین با تزریق موضعی آگونیست‌های آدنوزین اثرات ضد تشنجی این ماده در نواحی مختلف مغز مشخص می‌گردد [۲۹، ۲۶، ۲۵، ۲۰، ۱۹، ۱۵]. هیپوکمپ یکی از نواحی مهم مغزی است که در توسعه و انتشار کیندلینگ آمیگدال نقش دارد [۱]. گزارش شده است که استفاده از آگونیست‌های گیرنده آدنوزین A<sub>1</sub> موجب مهار رهایش واسطه‌های شیمیایی تحریکی در هیپوکمپ شده [۴۱، ۴۴] و تزریق آگونیست اختصاصی گیرنده آدنوزینی A<sub>1</sub> موجب مهار کیندلینگ هیپوکمپ می‌گردد [۲۹]. بنابراین با توجه به ارتباط آناتومیکی [۳، ۱۷، ۴۰] و عملی [۱۸، ۳۶] بین آمیگدال و هیپوکمپ، در این تحقیق اثر تزریق N-CH<sub>2</sub>-cyclohexyladenosine آدنوزینی A<sub>1</sub> و ۱، ۳ دی‌متیل-۸-سیکلوپنتیل گزانتین (CPT)، آنتاگونیست اختصاصی گیرنده آدنوزینی A<sub>1</sub> در کیندلینگ آمیگدال مورد بررسی قرار گرفت.

## مواد و روش‌ها

جراحی حیوانات و ایجاد کیندلینگ: در این تحقیق از موش‌های صحرایی نر با وزن ۳۰۰-۳۵۰ گرم استفاده شد. برای کارگذاری الکترود و کانول، حیوانات به وسیله www.SID.ir

صورت دو طرفه به هیپو کمپ تزریق (SID) میکروولتریک در ۲ دقیقه) و در زمان های ۵، ۱۵ و ۶۰ دقیقه پس از تزریق حیوانات تحریک و تمامی کمیت های تشنج اندازه گیری شدند. داده های حاصل با داده های به دست آمده از حیواناتی که به آنها فقط ACSF تزریق شده بود، مقایسه شدند.

ج - آزمایش سوم : در این آزمایش به گروه سوم از حیوانات، ۵ دقیقه بعد از تزریق CPT، داروی CHA تزریق گردید و حیوانات در زمان های ۵، ۱۵ و ۶۰ دقیقه بعد از تزریق CHA، تحریک و کمیت های تشنجی در آنها اندازه گیری شد. داده های حاصل از این آزمایش با داده های حاصل از حیواناتی که فقط CHA دریافت کرده بودند (گروه اول) مقایسه شدند.

تأیید بافت شناسی : تمامی حیوانات در پایان آزمایش ها کشته شده و مغز آنها در فرمالین قرار می گرفت. سپس جایگاه الکترود و کانول مشخص می گردید. فقط نتایج حیواناتی که محل کارگذاری الکترود و کانول آنها صحیح بوده، مورد استفاده قرار گرفت.

تجزیه و تحلیل آماری : در آزمایش های اول و دوم برای مقایسه تأثیر دوز های مختلف CHA و CPT، در زمان های مختلف پس از تحریک بر کمیت های تشنج، از آزمون ANOVA دو طرفه استفاده شد. در این آزمایش ها برای نمایش آسان نتایج، داده ها به صورت درصد کنترل نشان داده شدند و در این حالت در هر گروه برای نشان دادن وجود یا عدم وجود اختلاف بین هر یک از کمیت ها به گروه کنترل مربوطه، از آزمون Wilcoxon استفاده گردید. در آزمایش سوم برای مقایسه کمیت های به دست آمده از گروهی که CHA دریافت کرده بودند، با گروهی که CHA به همراه CPT دریافت کرده بودند، از آزمون t غیر زوج ها استفاده شد.

۱، حرکات دهان و صورت؛ مرحله ۲، حرکات نوسانی سر؛ مرحله ۳، کلونوس یک اندام جلویی؛ مرحله ۴، ایستادن روی دو پای عقب همراه با کلونوس دو اندام جلویی و مرحله ۵، ایستادن روی دو پای عقب همراه با کلونوس دو اندام جلویی و از دست دادن تعادل [۲۸].

از کمیت های فوق ADD یک کمیت الکتروفیزیولوژیک است. کمیت های S4L، S5D و SS کمیت های رفتاری هستند که با مشاهده حیوان و ثبت زمان به وسیله زمان سنج اندازه گیری می شوند.

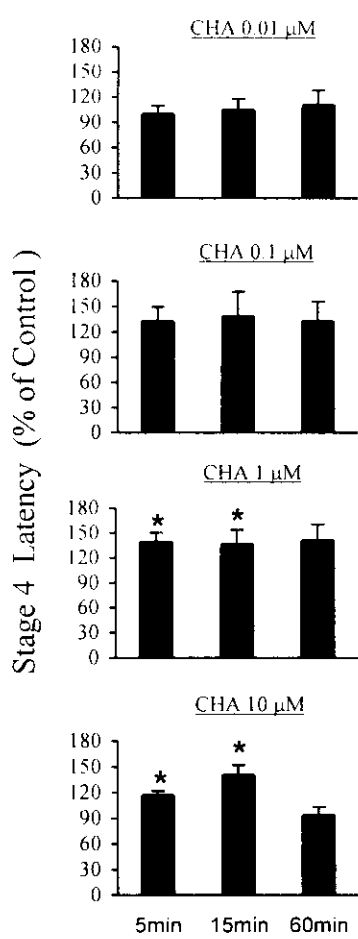
داروهای مورد استفاده : در این تحقیق از داروی N<sup>6</sup>- سیکلوهگزیل آدنوزین (CHA)، خریداری شده از شرکت Sigma، با دوز های (۰/۰۱، ۰/۰۱ و ۱۰ میکرومولار) به عنوان آگونیست اختصاصی گیرنده آدنوزینی A<sub>1</sub> و از ۱، ۳- دی متیل-۸- سیکلوپتیل گزانین (CPT)، خریداری شده از شرکت RBI، با دوز های (۰/۱ و ۱ میکرومولار) به عنوان آنتاگونیست اختصاصی گیرنده آدنوزینی A<sub>1</sub> استفاده گردید.

گروه بندی حیوانات : در این تحقیق سه مرحله آزمایش به شرح زیر روی حیوانات انجام شد :

الف - آزمایش اول : در این آزمایش حیوانات به ۴ گروه تقسیم بندی شدند و به ترتیب دوز های ۰/۰۱، ۰/۰۱ و ۱۰ میکرومولار، CHA به صورت دو طرفه به هیپو کمپ تزریق (۱ میکرولیتر در ۲ دقیقه) و در زمان های مختلف پس از تزریق (۵، ۱۵ و ۶۰ دقیقه) حیوانات تحریک و تمامی کمیت های تشنج اندازه گیری شدند. داده های حاصل با داده های به دست آمده به دنبال تزریق حلال دارو (مایع مغزی نخاعی مصنوعی یا ACSF) به این گروه مقایسه شدند.

ب - آزمایش دوم : در این آزمایش حیوانات به دو گروه تقسیم شده و دوز های ۰/۰۱ و ۱ میکرومولار، CPT به

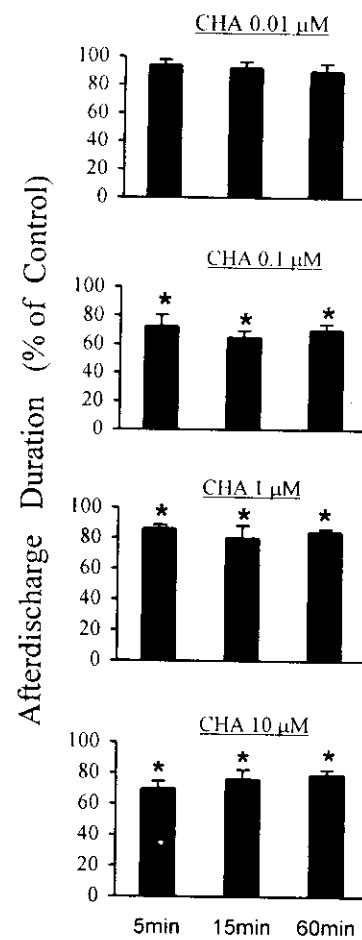
حمله (SS) نداشته است. در تمام دوزهای به کار رفته بجز دوز ۰/۰۱ میکرومولار، کاهش معنی‌داری در ADD، در زمان‌های ۱۵.۵ و ۶۰ دقیقه مشاهده شده است و آزمون ANOVA دو طرفه نشان داد که این اثر وابسته به دوز بوده ( $F(3, 60) = 0.7, P < 0.001$ ) [۵] اما وابسته به زمان (۰/۴۵,  $P = 0.79$ ) و یا دوز  $\times$  زمان



شکل ۲- اثر تزریق دو طرفه CHA (۰/۰۱، ۰/۰۱ و ۱۰ میکرومولار) به هیپوکمپ، بر S4L، حیوانات در زمان‌های ۵، ۱۵ و ۶۰ دقیقه بعد از تزریق، تحریک شدند. مقادیر به صورت میانگین  $\pm$  اشتباہ معیار میانگین و بر حسب درصد کنترل نشان داده شده‌اند. تعداد حیوانات در همه گروه‌ها ۶ سر می‌باشد.

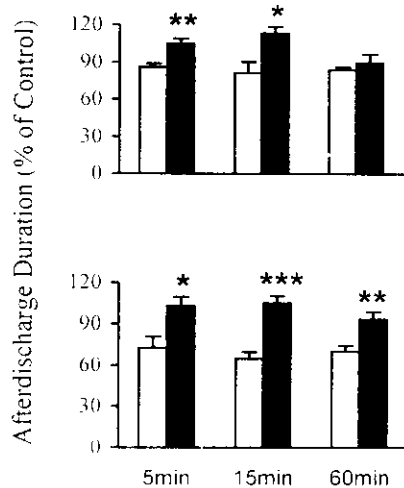
\* نشان دهنده  $P < 0.05$  در مقایسه با کنترل مربوطه با استفاده از آزمون Wilcoxon می‌باشد.

نتایج حاصل از تزریق دو طرفه CHA و یا CPT به هیپوکمپ : نتایج حاصله نشان داد که دوزهای مختلف CHA (۰/۰۱، ۰/۰۱ و ۱۰ میکرومولار) در زمان‌های مختلف پس از تزریق، (۵، ۱۵ و ۶۰ دقیقه تأثیری بر مرحله



شکل ۳- اثر تزریق دو طرفه CHA (۰/۰۱، ۰/۰۱ و ۱۰ میکرومولار) به هیپوکمپ، بر ADD. حیوانات در زمان‌های ۵، ۱۵ و ۶۰ دقیقه بعد از تزریق، تحریک شدند. مقادیر به صورت میانگین  $\pm$  اشتباہ معیار میانگین و بر حسب درصد کنترل نشان داده شده‌اند. تعداد حیوانات در همه گروه‌ها ۶ سر می‌باشد.

\* نشان دهنده  $P < 0.05$  در مقایسه با کنترل مربوطه با استفاده از آزمون Wilcoxon می‌باشد.

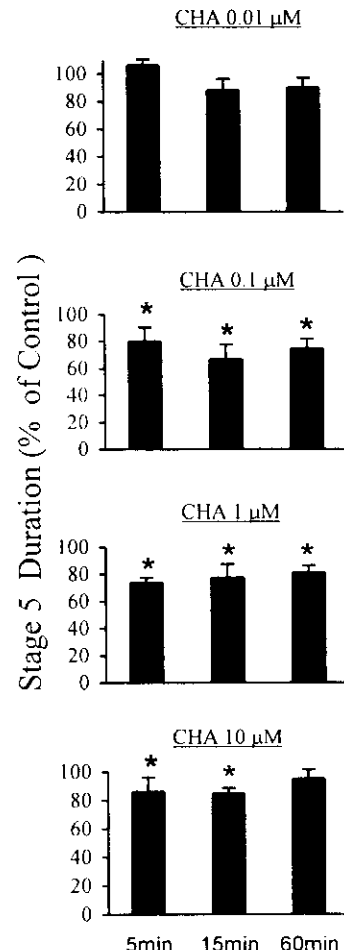


شکل ۴- کاهش اثرات CHA بر مدت زمان تخلیه متعاقب هیوکمپ (ADD) با تزریق CPT با غلظت یک میکرومولار، ۵ دقیقه قبل از CHA با غلظت‌های ۱ و ۰.۱ میکرومولار تزریق شد. حیوانات در زمان‌های ۵، ۱۵ و ۶۰ دقیقه بعد از تزریق، تحریک شدند. مقادیر به صورت میانگین ± اشتباہ معیار میانگین و بر حسب درصد کنترل نشان داده شده‌اند. تعداد حیوانات در همه گروه‌ها ۶ سر می‌باشد.

\* نشان دهنده  $P < 0.05$  و \*\* نشان دهنده  $P < 0.01$  و \*\*\* نشان دهنده  $P < 0.001$  در مقایسه با گروه CHA با استفاده از آزمون *t* غیرزوج‌ها می‌باشد.

$P = 0.66$  [F(۳, ۶۰) = ۳/۱۱,  $P = 0.60$ ] و به زمان [۰/۷۶]  $P = 0.28$  [F(۳, ۶۰) = ۰/۲۸] یا دوز  $\times$  زمان [۰/۶۷,  $P = 0.66$ ]  $P = 0.01$  وابسته نیست (شکل ۲).

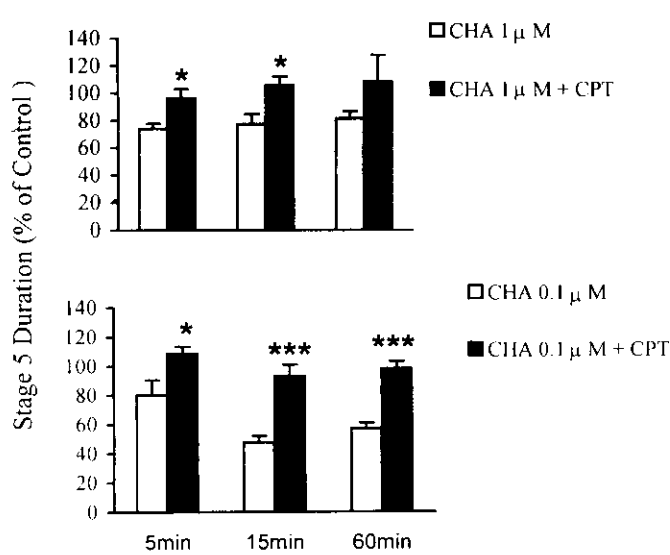
کمیت SSD نیز با تزریق دوزهای ۱ و ۰.۱ میکرومولار، در همه زمان‌ها و در دوز ۱۰ میکرومولار در زمان‌های ۵ و ۱۵ دقیقه کاهش معنی‌داری یافت. در رابطه با این کمیت اثر مشاهده شده وابسته به دوز بوده [۰/۰۰۱,  $P = 0.35$  [F(۶, ۶۰) = ۱۸/۳۵] اما به زمان [۰/۳۳,  $P = 0.45$ ]  $P = 0.05$  [F(۳, ۶۰) = ۲/۸] یا دوز  $\times$  زمان [۰/۱۵,  $P = 0.05$ ]  $P = 0.01$  وابسته نمی‌باشد (شکل ۳).



شکل ۳- اثر تزریق دو طرفه CHA (۰.۰۱، ۰.۱ و ۱۰ میکرومولار) به هیوکمپ، بر حسب S5D. حیوانات در زمان‌های ۵، ۱۵ و ۶۰ دقیقه بعد از تزریق، تحریک شدند. مقادیر به صورت میانگین ± اشتباہ معیار میانگین و بر حسب درصد کنترل نشان داده شده‌اند. تعداد حیوانات در همه گروه‌ها ۶ سر می‌باشد.

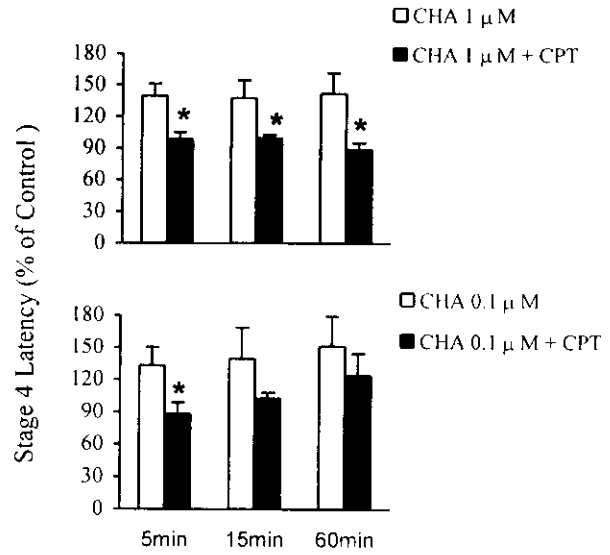
نشان دهنده  $P < 0.05$  در مقایسه با کنترل مربوطه با استفاده از آزمون Wilcoxon می‌باشد.

[۰/۶۷,  $P = 0.60$ ] نمی‌باشد (شکل ۱). کمیت S4L، با تزریق دوزهای ۱ و ۱۰ میکرومولار در زمان‌های ۵ و ۱۵ دقیقه بعد از تزریق به طور معنی‌داری افزایش یافت. بر اساس آزمون ANOVA دو طرفه این اثر فقط وابسته به دوز می‌باشد [۰/۰۵,  $P = 0.05$ ] [F(۳, ۶۰) = ۳/۱۱] و [۰/۲۸,  $P = 0.76$ ] [F(۳, ۶۰) = ۰/۲۸] یا دوز  $\times$  زمان [۰/۷۶,  $P = 0.60$ ] یا دوز  $\times$  زمان



شکل ۶- کاهش اثرات CHA بر مدت زمان مرحله ۵ حمله CPT. با غلظت یک میکرومولار، ۵ دقیقه قبل از CHA با غلظت‌های ۱ و ۰/۱ میکرومولار تزریق شد. حیوانات در زمان‌های ۵، ۱۵ و ۶۰ دقیقه بعد از تزریق، تحریک شدند. مقادیر به صورت میانگین  $\pm$  اشتباه معیار میانگین و بر حسب درصد کنترل نشان داده شده‌اند.

تعداد حیوانات در همه گروه‌ها ۶ سر می‌باشد.  
\* نشان دهنده  $P < 0/05$ ، \*\* نشان دهنده  $P < 0/01$  و \*\*\* نشان دهنده  $P < 0/001$  در مقایسه با گروه CHA با استفاده از آزمون t غیرزوج‌ها می‌باشد.



شکل ۵- افزایش اثرات CHA بر زمان تأخیری بین لحظه تحریک تا شروع مرحله ۴ حمله (S4L). با غلظت یک میکرومولار، ۵ دقیقه قبل از CHA با غلظت‌های ۱ و ۰/۱ میکرومولار به هیوکمپ تزریق شد. حیوانات در زمان‌های ۵، ۱۵ و ۶۰ دقیقه بعد از تزریق، تحریک شدند. مقادیر به صورت میانگین  $\pm$  اشتباه معیار میانگین و بر حسب درصد کنترل نشان داده شده‌اند. تعداد حیوانات در همه گروه‌ها ۶ سر می‌باشد.

\* نشان دهنده  $P < 0/05$  در مقایسه با گروه CHA با استفاده از آزمون t غیرزوج‌ها می‌باشد.

اثرات ضدتشنجی CHA بسیار کاهش می‌یابد (شکل‌های ۶-۷).

همچنین مقایسه فوق بین گروهی که CHA ۱ میکرومولار همراه با CPT یک میکرومولار دریافت کرده با گروهی که CHA ۰/۱ میکرومولار به آنها تزریق شده بود، انجام شد و مشخص گردید که در این حالت نیز CPT جلوی اثرات کاهشی CHA بر کمیت‌های تشنج را می‌گیرد (شکل‌های ۶-۷).

از طرفی آزمون ANOVA دو طرفه نشان داد که هیچ یک از دوزهای CPT تغییر معنی‌داری در کیت‌های اندازه‌گیری شده ایجاد نکرد.

نتایج حاصل از CHA به همراه CPT: آزمون t غیرزوج‌ها نشان داد که در گروهی که CHA یک میکرومولار همراه با CPT یک میکرومولار دریافت کرده بودند، در مقایسه با گروهی که به آنها CHA یک میکرومولار به تهایی تزریق شده بود،

۳]. علاوه بر این، گزارش شده است که تزریق هیپوکمپ آزاد کننده تیروپین به هیپوکمپ موجب بروز اثرات ضدتشنجی در کیندلینگ آمیگdal می‌گردد [۳۷]. نتایج به دست آمده از این تحقیق نیز مؤید ارتباط بین هیپوکمپ و آمیگdal است و نشان می‌دهند که تزریق دو طرفه CHA به هیپوکمپ اثرات ضد تشنجی در کیندلینگ آمیگdal دارد. تراکم گیرنده‌های آدنوزینی A<sub>1</sub> در ناحیه CA1 هیپوکمپ بسیار زیاد است [۲] و کاربرد آگونیست‌های گیرنده A<sub>1</sub> در ناحیه CA1 هیپوکمپ موجب مهار رهایش میانجی‌های نورونی تحریکی [۱۴، ۱۲، ۶، ۴] اسپاپیک‌های صرعی شکل [۳۹، ۳۰، ۳۳] و انتقال پیام عصبی از طریق سیناپس‌ها [۳۹] می‌گردد. به علاوه تزریق L-فینیل ایزوپروپیل آدنوزین، آگونیست اختصاصی گیرنده A<sub>1</sub> در کیندلینگ هیپوکمپ اثرات مهاری دارد [۲۹]. بنابراین، می‌توان این احتمال را مطرح کرد که در این تحقیق، تزریق CHA به هیپوکمپ موجب مهار فعالیت نورون‌های این ناحیه گردیده است و اثرات ضد تشنجی CHA، ناشی از مهار فعالیت این نورون‌هاست. همچنین این موضوع می‌تواند مؤید این ایده باشد که ناحیه CA1 هیپوکمپ در انتشار حملات ناشی از کیندلینگ آمیگdal نقش دارد [۳۲].

در این تحقیق تزریق CHA به هیپوکمپ به صورت وابسته به دوز موجب کاهش معنی‌داری در زمان پتانسیل متعاقب (ADD)، ثبت شده از آمیگdal گردید. بنابراین می‌توان این احتمال را مطرح کرد که مهار فعالیت نورون‌های هیپوکمپ به وسیله CHA موجب کاهش فعالیت نورون‌های آمیگdal شده است. کمیت (S4L) زمان لازم برای عمومی شدن تشنج است. بنابراین افزایش آن نشان می‌دهد که هیپوکمپ احتمالاً در گسترش یافتن امواج ضرعی از آمیگdal به سایر نواحی مغز و یا تقویت آنها نقش دارد. کاهش مدت زمان مرحله ۵ حمله (S5D) نیز دلیلی بر اثرات ضد تشنجی CHA است.

نتایج به دست آمده از این تحقیق نشان می‌دهند که تزریق دو طرفه CHA به ناحیه CA1 هیپوکمپ پشتی بر حملات ناشی از کیندلینگ آمیگdal اثرات ضدتشنجی دارد.

مشاهدات نشان می‌دهند که کاربرد آدنوزین به صورت in vivo و in vitro در مغز اثرات ضد تشنجی دارد [۱۱] و آنالوگ‌های آن موجب مهار حملات تشنجی در مدل‌های مختلف ایجاد صرع از جمله کیندلینگ می‌گردد [۲۵، ۸، ۷] و همچنین ثابت شده است که اثرات ضد تشنجی آدنوزین از طریق گیرنده‌های آدنوزینی A<sub>1</sub> بروز می‌کند [۱۶، ۴۵]. اگر چه در بسیاری از مطالعات انجام شده اثرات ضد تشنجی آگونیست‌های آدنوزین مشخص گردیده است ولی نقش نواحی مختلف مغزی در بروز این اثرات هنوز به درستی مشخص نیست. با تزریق آگونیست اختصاصی گیرنده A<sub>1</sub> به نواحی مختلف مغز می‌توان به نقش هر یک از نواحی مغز در ایجاد اثرات ضد تشنجی پی برد. مطالعاتی که در گذشته انجام گرفته است، نشان می‌دهند که تزریق آدنوزین به آمیگdal [۲۵]، قشر پری‌راینال [۲۰] و جسم سیاه [۱۵] اثرات ضد تشنجی به دنبال دارد.

هیپوکمپ نیز از جمله نواحی است که در کیندلینگ آمیگdal نقش اساسی دارد [۴۲، ۳۵، ۲۲] و به دنبال کیندلینگ آمیگdal تغییرات ساختمانی و بیوشیمیابی در هیپوکمپ مشاهده گردیده است [۳۴، ۳۱، ۲۱]. بسیاری از این تغییرات در نتیجه افزایش تحریک‌پذیری نورون‌های هیپوکمپ به وجود می‌آیند. همچنین نشان داده شده است که تخریب دو طرفه هیپوکمپ، موجب کاهش کیندلینگ آمیگdal می‌گردد [۴۳، ۳۲، ۵] و به دنبال کیندلینگ آمیگdal متابولیسم گلوکز در هیپوکمپ افزایش می‌یابد [۲۲]

## Archive of SID

۲- کلروآدنوزین که آگونیست غیراختصاصی است، استفاده گردید.

ب- در این تحقیق CHA به صورت دو طرفه تزریق گردید. در صورتی که ۲- کلروآدنوزین به صورت یک طرفه تزریق شده بود.

ج- در این تحقیق آستانه تحریک حیوانات قبل از تزریق دارو اندازه‌گیری شد و حیوانات با همان آستانه تحریک شدند اما در تحقیق قبلی حیوانات با شدت تحریک بالاتر از آستانه تحریک می‌شدند. بنابراین با توجه به اینکه آمیگدال و هیپوکمپ به عنوان مهم‌ترین نواحی مغز می‌باشند که در شروع فعالیت تشنجی نقش دارند [۳۸]. برای مشخص شدن نقش دقیق هیپوکمپ در کیندلینگ آمیگدال به تحقیقات گسترش‌دهتری نیاز می‌باشد. با این وجود، بر اساس نتایج حاصل از این تحقیق و اکثر تحقیقات گذشته می‌توان این احتمال را مطرح کرد که هیپوکمپ یکی از نواحی مهم لوب گیجگاهی است که در گسترش تشنج‌های ناشی از کیندلینگ آمیگدال نقش تسهیلی ایفا می‌کند.

### تشکر و قدردانی

این تحقیق در گروه فارماکولوژی دانشگاه علوم پزشکی شهید بهشتی انجام گرفت. لذا بدین وسیله از مدیریت محترم و تمامی همکاران آن گروه به ویژه آقای صفرعلی غفاری تشکر و قدردانی می‌شود.

همچنین بروز اثرات ضد تشنجی به فاصله ۵ دقیقه بعد از تزریق نشان می‌دهد که این اثر به علت گسترش دارو به نواحی دیگر مغزی نبوده است. زیرا در مدت زمان ۵ دقیقه دارو فرصت انتشار به سایر نواحی مغزی را نداشته است. به علاوه، اثرات ضد تشنجی دارو تا ۶۰ دقیقه پس از تزریق نیز مشاهده می‌شود که این امر نشان دهنده حذف آهسته آن از مغز است.

اگرچه تحقیقات زیادی نشان دهنده نقش هیپوکمپ در کیندلینگ آمیگدال می‌باشد، بعضی شواهد نشان دهنده عدم نقش هیپوکمپ در کیندلینگ آمیگدال است. به عنوان مثال گزارش شده است که تخریب بخش پشتی هیپوکمپ در کیندلینگ آمیگدال نقش ندارد [۲۷]. همچنین تزریق اسیدهای آمینه تحریکی به هیپوکمپ نتایج متفاوتی بر کیندلینگ آمیگدال داشته است. به عنوان مثال گزارش شده است که تزریق کائینیک اسید به هیپوکمپ موجب تسهیل کیندلینگ آمیگدال می‌گردد [۱۳]. از طرف دیگر نشان داده شده است که تزریق کوینولینیک اسید به هیپوکمپ موجب مهار کامل کیندلینگ آمیگدال می‌گردد [۲۴]. همچنین مطالعات قبلی ما نیز نشان دادند که تزریق ۲- کلروآدنوزین به ناحیه CA1 هیپوکمپ باعث بروز اثرات ضد تشنجی در کیندلینگ آمیگدال نمی‌شود [۲۶]. هر چند این موضوع با تحقیق حاضر مغایرت دارد اما بین این تحقیقات چند تفاوت اصلی وجود دارد که عبارتند از:

الف- در این تحقیق از آگونیست کاملاً اختصاصی گیرنده آدنوزینی A<sub>1</sub> استفاده شد. در حالی که در تحقیق قبلی از

- [1] Akiyama, K., Ono, M., Kohira, I., Diagen, A., Ishihara, T. et al, Long-lasting increase in protein kinase C activity in hippocampus of amygdala kindled rats, *Brain Res.*, 679 (1995) 212-220.
- [2] Chen, Y., Graham, D.I., Stone, T.W., Release of endogenous adenosine and its metabolites by the action of NMDA receptors in the rat hippocampus in vivo, *Br. J. Pharmacol.*, 106 (1992) 632-638.
- [3] Collins, R.C. Tearse, R.E., Lothman, E.W., Functional anatomy of the limbic seizures, focal discharge from medial entorhinal cortex in rat, *Brain Res.*, 180 (1983) 25-40.
- [4] Corradetti, R., Conte, G.L., Moroni, F., Passiani, M.B., Pepeu, G., Adenosine decreases aspartate and glutamate release from rat hippocampal slices, *Eur. J. Pharmacol.*, 104 (1984) 19-26.
- [5] Dasheiff, R.M., McNamara, J.O., Intradentate colchicine retards the development of amygdala kindling, *Ann. Neural.*, 11 (1982) 347-352.
- [6] Deckert, J., Jorgensen, M.B., Evidence for pre and post synaptic localization of adenosine A<sub>1</sub> receptor in the CA1 region of rat hippocampus: a quantitative autoradiographic study, *Brain Res.*, 449 (1998) 161-164.
- [7] Dragunow, M., Purinergic mechanisms in epilepsy, *Prog. Neurobiol.*, 31 (1988) 85-108.
- [8] Dragunow, M., Adenosine: the brain's natural anticonvulsant, *Trends Pharmacol. Sci.*, 7 (1986) 128-130.
- [9] Dragunow, M., Goddard, G.V., Adenosine modulation of amygdala kindling, *Exp. Neurol.*, 84 (1984) 654-665.
- [10] Dragunow, M., Goddard, G.V., Laverty, R., Is adenosine an endogenous anticonvulsant? *Epilepsia*, 26 (1985) 480-487.
- [11] Dunwiddie, T.V., Adenosine and suppression of seizures, In: Delgado-Escureta A.V., Wilson, W.A., Olsen, R.W., Porter, R.J. (eds). *Jasper's basic mechanisms of the epilepsies*, third edition: Advances in neurology, 79, Lippincott Williams & Wilkins, Philadelphia (1999) 1001-1010.
- [12] Dunwiddie, T.V., Endogenously released adenosine regulated excitability in the in vitro hippocampus, *Epilepsia*, 21 (1980) 541-548.
- [13] Feldblum, S., Ackermann, R.F., Increased susceptibility to hippocampal and amygdala kindling following intrahippocampal kainic acid, *Exp. Neurol.*, 97 (1987) 255-269.
- [14] Grover, L.M., Chen, Y., The modulation of excitatory synaptic transmission by adenosine in area CA1 of the rat hippocampus is temperature dependent, *Neurosci. Lett.*, 263 (1999) 77-80.
- [15] Herberg, L.J., Rose, I.C., Mintz, M., Effect of an adenosine A<sub>1</sub> agonist injected into substantia nigra on kindling of epileptic seizures and convulsion duration, *Pharmacol. Biochem.*, 44 (1993) 113-117.
- [16] Janusz, C.A., Berman, R.F., The A<sub>2</sub> selective adenosine analog CGS21680 depresses locomotor activity but dose not block amygdala kindled seizures in rats, *Neurosci. Lett.*, 14 (1992) 247-250.
- [17] Krettec, J.E., Price, J.L., Projections from the amygdala to the perirhinal and entorhinal cortices and subiculum, *Brain Res.*, 71 (1974) 150-154.
- [18] Mello, L. E., Tan, A.M., Finch, D.M., Convergence of projections from the rat hippocampal formation, medial geniculate and basal forebrain onto single amygdaloid neurons: an in vivo extra and intracellular electrophysiological study, *Brain Res.*, 587 (1992) 24-40.
- [19] Mirnajafi-Zadeh, J., Fathollahi, Y., Pourgholami, M.H., Interaperitoneal and intraamygdala N<sup>6</sup>-cyclohexyladenosine suppresses hippocampal kindled seizures in rats, *Brain Res.*, 858 (2000) 48-54.
- [20] Mirnajafi-Zadeh, J., Pourgholami, M.H., Palizvan, M.R., Rostampour, M., Fallahi, M., Anticonvulsant action of 2-chloroadenosine

- injected focally into the perirhinal cortex in amygdalaoid kindled rats, *Epilepsy Res.*, 37 (1999) 37-43.
- [21] Morimoto, K., Sato, K., Kashihara, K., Hayabara, T., Increased level of mRNA for  $\beta$  but not  $\alpha$ -subunit of calmodulin kinase II following kindled seizures, *Brain Res. Bulletin*, 43 (1997) 375-380.
- [22] Namba, H., Iwasa, H., Kubota, M., Hagihara, Y., Yamaura, A., Changes in hippocampal glucose utilization subsequent to amygdalaoid-kindled generalized seizures, *Epilepsia*, 32 (1991) 27-32.
- [23] Paxinos, G., Watson, C., *The rat brain in stereotaxic coordinates*, Academic Press, New York, (1986).
- [24] Ping, H.X., Lio, G.Q., Xie, L., Wu, H.Q., Effect of intrahippocampal quinolinic acid infusion on the amygdala kindling in rat, *Chung Kuo Yao Li Hesueh Pao*, 12 (1991) 304-307.
- [25] Pourgholami, M.H., Mirnajafi-Zadeh, J., Behzadi, J., Effect of intraperitoneal and intrahippocampal (CA1) 2-chloroadenosine in amygdalaoid kindled rats, *Brain Res.*, 751 (1997) 259-264.
- [26] Pourgholami, M.H., Rostampour, M., Mirnajafi-Zadeh, J., Palizvan, M.R., Intramygdala infusion of 2-chloroadenosine suppresses amygdala-kindled seizures, *Brain Res.*, 775 (1997) 37-42.
- [27] Racine, R.J., Paxinos, G., Mosher, J.M., Kairiss, E.W., The effect of various knife-cuts on septal and amygdala kindling in the rat, *Brain Res.*, 454 (1988) 264-274.
- [28] Racine, R.J., Modulation of seizure activity by electrical stimulation 2. Motor seizure, *Electroencephalogr, Clin, Neurophysiol*, 32 (1972) 281-294.
- [29] Rosen, L.B., Berman, R.F., Differential effects of adenosine analogs on amygdala, hippocampus and caudate nucleus kindled seizures, *Epilepsia*, 28 (1987) 658-666.
- [30] Sagratella, S., Frank, C., Benedetti, L., Scotti De Corolis, A., Modulatory action of purinergic drugs on high potassium induced epileptiform bursting in rat hippocampal slices, *Pharmacol. Res. Com.*, 19 (1987) 819-826.
- [31] Sato, K., Kashihara, K., Mormoto, K., Hayabara, T., Regional increase in brain-derived neurotrophic factor and nerve growth factor mRNAs during amygdala kindling but not in acidic and basic fibroblast growth factor mRNAs, *Epilepsia*, 37 (1996) 6-14.
- [32] Tanaka, T., Kondom, S., Hori, T., Tanaka, S., Yokichi, Y., Various hippocampal lesions induced by multi-fractional ibotenic acid injection and amygdala kindling in rats, *Brain Res.*, 559 (1991) 154-158.
- [33] Thompson, S.M., Hass, H.L., Gahviler, B.H., Comparision of the action of adenosine at pre and post synaptic receptors in the rat hippocampus in vitro, *J. Physiol Lond*, 451 (1992) 347-363.
- [34] Ueda, Y., Nariko, T., Simultaneous monitoring of the seizure related changes in extracellular glutamate and aminobutiric acid concentration in bilateral hippocampus following development of amygdalaoid kindling, *Epilepsy Res.*, 20 (1995) 213-219.
- [35] Ueda, Y., Tsuru, N., Bilateral seizure related changes of extracellular glutamate concentration in hippocampus during development of amygdalaoid kindling, *Epilepsy Res.*, 18 (1994) 85-88.
- [36] Uno, M., Ozawa, N., Augmentation of synaptic responses in the dentate gyrus by daily electrical stimulation of the amygdala in cats, *Brain Res.*, 8 (1986) 451-453.
- [37] Van, R-Q., Nogurea, E.C., Weiss, S.R.B., Anticonvulsant effects of intra-hippocampal injection of TRH in amygdala kindled rats, *Neuroreport*, 9 (1998) 677-682.
- [38] Weiser, H.G., Epilepsy surgery, *Bailliere's Clinical Neurology*, 5 (1996) 849-875.
- [39] Wu, L.G., Saggau, P., Adenosine inhibits evoked synaptic transmission primarily by reducing pre synaptic calcium influx in area CA1 of the hippocampus, *Neuron*, 12 (1994) 1139-1148.
- [40] Wyss, J.M., Swanson, L.W., Cowan, W.M., A study of subcortical afferent to the hippocampal formation in the rat, *Neuroscience*, 4 (1979) 463-474.

- [41] Xiao, M., YD Karpefors, M., Gustafsson, B., Wigstrom, H., On the linkage between AMPA and NMDA receptor-mediated EPSPs in homosynaptic long term depression in the hippocampal CA1 region of young rats, *J. Neurosci.*, 15 (1995) 4496-4506.
- [42] Yamada, N., Bilkey, D.K., Kindling induced persistent alteration in the membrane and synaptic properties of CA1 pyramidal neurons, *Brain Res.*, 561 (1991) 324-331.
- [43] Yoshida, H., Influences of bilateral hippocampal lesion upon kindled amygdaloid convulsive seizures in rats, *Physiol Behav*, 32 (1984) 123-126.
- [44] Yoon, K.W., Rothman, S.M., Adenosine inhibits excitatory but not inhibitory synaptic transmission in the hippocampus, *J. Neurosci*, 11 (1991) 1375-1380.
- [45] Young, D., Dragunow, M., Status epilepticus may be caused by loss of adenosine anticonvulsant mechanism, *Neurosci.*, 58 (1994) 245-261.